

Das Intergalaktische Medium

2 Beschreibung von Quasar-Absorptionslinien

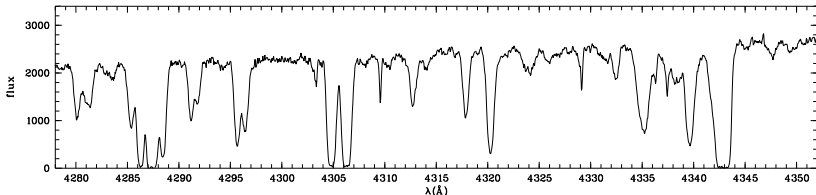
Cora Fechner

Universität Potsdam



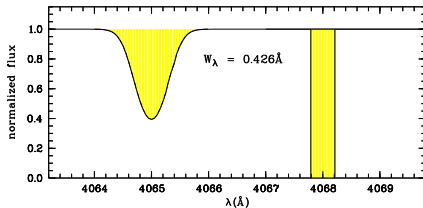
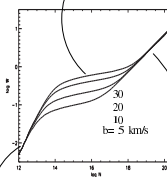
WS 2014/15

Beschreibung von Quasar-Absorptionslinien

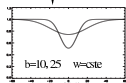


$N=15$
 $b=10, 20$

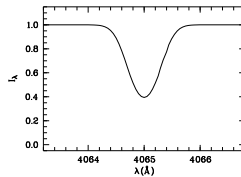
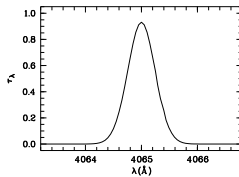
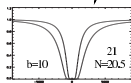
Flat part of the curve of growth



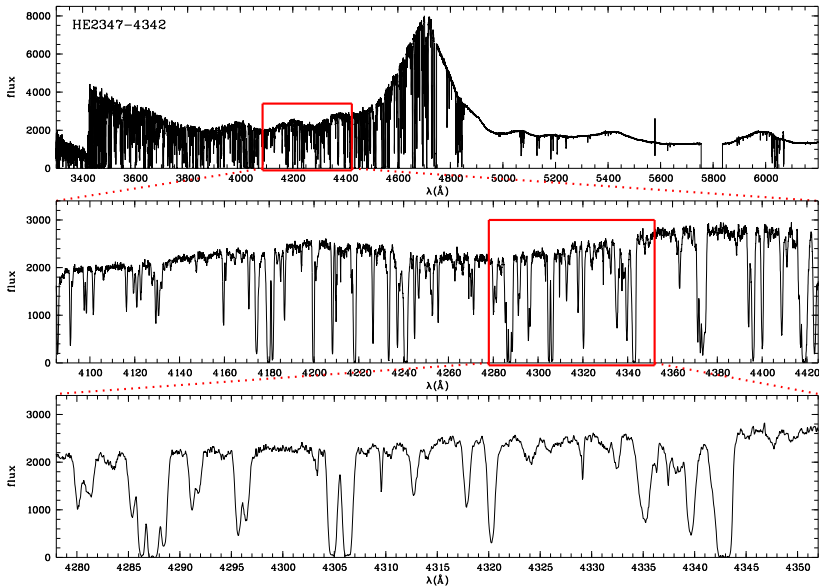
Optically thin case



Damped wings



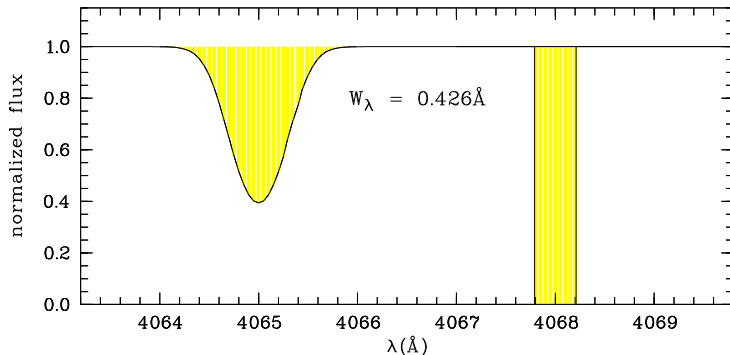
Quasar-Absorptionslinien



Äquivalentbreite

Breite des Streifens in einem normierten Spektrum, dessen Fläche genauso groß ist wie die der Absorptionslinie

$$W_\lambda = \int_{\text{Linie}} \frac{F_{\text{cont}} - F(\lambda)}{F_{\text{cont}}} d\lambda = \int_{\text{Linie}} \left(1 - \frac{F(\lambda)}{F_{\text{cont}}} \right) d\lambda$$



Die Äquivalentbreite ist unabhängig von der spektralen Auflösung!

Einsteinkoeffizienten

- ▶ spontane Emission A_{ij}

$$\Delta n_i = -n_i A_{ij} \Delta t$$

- ▶ induzierte Absorption B_{ji}

$$\Delta n_j = -n_j B_{ji} \bar{J} \Delta t$$

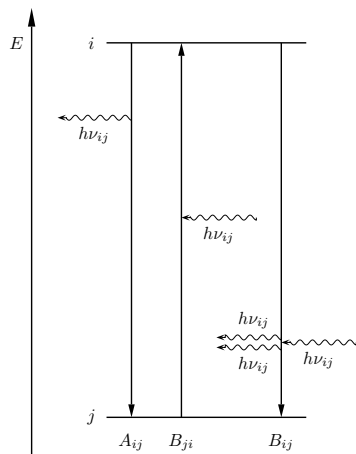
mit
$$\bar{J} = \int \frac{d\omega}{4\pi} \int I_\nu \phi_\nu d\nu$$

- ▶ stimulierte Emission B_{ij}

$$\Delta n_i = -n_i B_{ij} \bar{J} \Delta t$$

Profilkfunktion Emission:
$$\int_0^\infty \psi_\nu d\nu = 1$$

Profilkfunktion Absorption:
$$\int_0^\infty \phi_\nu d\nu = 1$$



$$(n_i A_{ij} + n_i B_{ij} \bar{J}) = n_j B_{ji} \bar{J}$$

Einsteinkoeffizienten

im thermodynamischen Gleichgewicht:

Strahlungsfeld: $I_\nu = B_\nu = \frac{2h\nu^3}{c^2} \frac{1}{e^{h\nu/kT} - 1}$ Planck-Funktion

$$\Rightarrow \bar{J} \simeq B_\nu \int_0^\infty \phi_\nu d\nu = B_\nu$$

Besetzungszahlen: $\frac{n_i}{n_j} = \frac{g_i}{g_j} \exp\left(-\frac{h\nu}{kT}\right)$ Boltzmann-Verteilung

außerdem $(n_i A_{ij} + n_i B_{ij} \bar{J}) = n_j B_{ji} \bar{J}$

$$\Rightarrow \frac{g_j}{g_i} \frac{B_{ji}}{B_{ij}} = 1$$

unabhängig von der Annahme des thermischen Gleichgewichts!

$$\frac{A_{ij}}{B_{ij}} = \frac{2 h \nu^3}{c^2}$$

Atom im Strahlungsfeld

klassisch: harmonischer Oszillator mit Frequenz ω_0 in einem oszillierenden elektrischen Feld der Frequenz ω

Bewegungsgleichung: $m_e \ddot{z} = -m_e \gamma \dot{z} - m_e \omega_0^2 z + e E_0 e^{i\omega t}$

spezielle Lösung:
$$z = \frac{e}{m_e} \frac{E_0 e^{i\omega t}}{\omega_0^2 - \omega^2 + i\gamma\omega}$$

Dipolmoment: $\vec{p} = e \cdot \vec{z}$ bzw. $4\pi N e \vec{z}$

dielektrische Konstante:
$$\begin{aligned} \epsilon &= 1 + \frac{4\pi N e \vec{z}}{E} \\ &= 1 + 4\pi N \frac{e^2}{m_e} \frac{1}{\omega_0^2 - \omega^2 + i\gamma\omega} \end{aligned}$$

Brechungsindex:
$$\begin{aligned} \mathcal{N} &= \sqrt{\epsilon} = n - ik \quad \text{optische Konstanten} \\ &\approx 1 + \left(\frac{2\pi N e^2}{m_e} \right) \left(\frac{\omega_0^2 - \omega^2 - i\gamma\omega}{(\omega_0^2 - \omega^2)^2 + \gamma^2 \omega^2} \right) \end{aligned}$$

Absorption

Absorptionsindex: $k = \frac{2\pi N e^2}{m_e} \frac{\gamma \omega}{(\omega_0^2 - \omega^2)^2 - \gamma^2 \omega^2}$

elektrisches Feld: $E = E_0 \exp\left(i\omega\left(t - \frac{z}{v}\right)\right)$ mit $v = \frac{c}{n - ik}$

Intensität: $I \propto EE^*$

$$= I_0 \exp\left(-\frac{2k\omega z}{c}\right) = I_0 \exp(-\kappa_\nu z)$$

$\Rightarrow \kappa_\nu = \frac{2k\omega}{c} = \frac{4\pi N e^2}{m_e c} \frac{\gamma \omega^2}{(\omega_0^2 - \omega^2)^2 + \gamma^2 \omega^2}$

$$\kappa_\nu \approx N \frac{\pi e^2}{m_e c} \frac{\frac{\gamma}{4\pi^2}}{\underbrace{(\nu_0 - \nu)^2 + \left(\frac{\gamma}{4\pi}\right)^2}_{\text{Lorentz-Profil}}}$$

Lorentz-Profil

atomarer Absorptionskoeffizient:

$$a_\nu = \frac{\kappa_\nu}{N}$$

totaler atomarer Absorptionskoeffizient:

$$\begin{aligned} a &= \int_0^\infty a_\nu d\nu \\ &= \frac{\pi e^2}{m_e c} \int_0^\infty \frac{\frac{\gamma}{4\pi^2}}{(\nu_0 - \nu)^2 + \left(\frac{\gamma}{4\pi}\right)^2} d\nu = \frac{\pi e^2}{m_e c} \end{aligned}$$

Linienprofil ϕ_ν definiert durch $a_\nu = a \cdot \phi_\nu$:

$$\phi_\nu = \frac{\frac{\gamma}{4\pi^2}}{(\nu_0 - \nu)^2 + \left(\frac{\gamma}{4\pi}\right)^2} \quad \text{Lorentz-Profil}$$

Oszillatorstärke

pro Atom sind mehrere Übergänge jeweils mit Frequenz ν_0 möglich
Annahme: System aus mehreren Federn mit Beitrag f

$$a_\nu = \frac{\pi e^2}{m_e c} \cdot f \cdot \phi_\nu \quad \text{Oszillatorstärke}$$

Zusammenhang mit den Einsteinkoeffizienten:

$$\kappa_\nu = \frac{h\nu}{4\pi} (n_j B_{ji} \phi_\nu - n_i B_{ij} \psi_\nu)$$

$$A_{ij} = \frac{g_j}{g_i} \frac{8\pi^2 e^2 \nu^2}{m_e c^3} f_{ji}$$

$$\Rightarrow a_\nu = \left(1 - \frac{g_j n_i}{g_i n_j} \right) \frac{\pi e^2}{m_e c} f_{ji} \phi_\nu$$

semi-klassisch mit zeitabhängiger Störungsrechnung:

$$f_{ji} = \frac{8\pi^2 m_e \nu_{ij}}{3 h e^2} |\langle \phi_i | e\vec{r} | \psi_j \rangle|^2 = \frac{4}{3} \frac{\frac{1}{2} m_e (\omega_{ij} |\langle \psi_i | \vec{r} | \psi_j \rangle|)^2}{h \nu_{ij}} = \frac{E_{\text{kin}, e^-}}{E_\gamma}$$

Natürliche Linienbreite

Intensitätsänderung proportional zum Absorptionskoeffizienten

$$\kappa_\nu = n \left(\frac{\pi e^2}{m_e c} \right) \frac{\frac{\gamma}{4\pi^2}}{(\Delta\nu)^2 + \left(\frac{\gamma}{4\pi} \right)^2} \quad \text{Lorentz-Profil}$$

halbe Linienintensität bei

$$\Delta\nu_{1/2} = \frac{\gamma}{4\pi} = \frac{2}{3} \frac{\pi e^2}{m_e c^3} \nu_0 \simeq 2 \cdot 10^{-23} \text{ s} \cdot \nu_0$$

$$\Delta\lambda_{1/2} = \frac{c}{\nu^2} \Delta\nu_{1/2} = \frac{2}{3} \frac{\pi e^2}{m_e c^2} \simeq 5.9 \cdot 10^{-5} \text{ \AA}$$

$$\text{FWHM} = 2 \cdot \Delta\lambda_{1/2} = 0.000118 \text{ \AA} \quad \text{natürliche Linienbreite}$$

QM: Unschärferelation $\Delta E \cdot \Delta t \sim \hbar$

⇒ endliche Lebensdauer, endlich breites Energieniveau

⇒ endliche Linienbreite $\gamma \xrightarrow{\text{QM}} \Gamma_{ij} = \sum_{k < j} A_{jk} + \sum_{k < i} A_{ik}$

Doppler-Verbreiterung

thermische Geschwindigkeiten $v_z = v$ der Atome in der Gaswolke
 \Rightarrow Doppler-Verschiebung entlang der Sehlinie

$$\frac{\Delta\lambda}{\lambda} = \frac{\Delta\nu}{\nu} = \frac{v}{c}$$

Geschwindigkeiten bei Temperatur T : Maxwellverteilung

$$\frac{n(v) dv}{n} = \frac{1}{\sqrt{\pi}} \exp\left(-\frac{v^2}{b^2}\right) \frac{dv}{b} \quad \text{mit } b^2 = \frac{2kT}{m} = b_{\text{th}}^2$$

Stärke der Absorption bei $\nu \propto$ Anzahl der Atome mit v :

$$\frac{(I_{\text{cont}} - I_\nu) d\nu}{\int_{\text{Linie}} (I_{\text{cont}} - I_\nu) d\nu} = \frac{n(v) dv}{n} = \frac{1}{\sqrt{\pi} b} \exp\left(-\frac{v^2}{b^2}\right) dv$$

Dopplerbreite

Dopplerbreite $\Delta\nu_D$ bzw. $\Delta\lambda_D$ definiert als

$$\frac{\Delta\nu_D}{\nu_0} = \frac{\Delta\lambda_D}{\lambda_0} = \frac{b}{c} = \sqrt{\frac{2kT}{mc^2}}$$

$$\Rightarrow \frac{\Delta\nu}{\Delta\nu_D} = \frac{v}{b} \quad \text{wegen} \quad \frac{\Delta\nu}{\nu_0} = \frac{v}{c}$$

$$\Rightarrow \frac{(I_{\text{cont}} - I_\nu) d\nu}{\int_{\text{Linie}} (I_{\text{cont}} - I_\nu) d\nu} = \frac{1}{\sqrt{\pi} \Delta\nu_D} \exp\left(-\left(\frac{\Delta\nu}{\Delta\nu_D}\right)^2\right) d\nu$$

normalisiertes Linienprofil:

$$\phi_\nu = \frac{1}{\sqrt{\pi} \Delta\nu_D} \exp\left(-\left(\frac{\Delta\nu}{\Delta\nu_D}\right)^2\right) \quad \text{Doppler-Profil}$$

Dopplerbreite

Linienzentrum:

$$\phi_\nu(\Delta\nu = 0) = \frac{1}{\sqrt{\pi} \Delta\nu_D}$$

halbe Linienintensität bei

$$\phi_\nu(\Delta\nu_{1/2}) = \frac{1}{2} \phi_\nu(\Delta\nu = 0)$$

$$\Rightarrow \Delta\nu_{1/2} = \Delta\nu_D \sqrt{\ln 2}$$

$$\Rightarrow \text{FWHM} = 2 \cdot \Delta\nu_{1/2} = \Delta\nu_D \cdot 2\sqrt{\ln 2}$$

Voigt-Profil

Lorentz-Profil mit Dämpfungskonstante Γ :

$$a_\nu = \frac{\pi e^2}{m_e c} f \frac{\Gamma}{4\pi^2} \frac{1}{(\nu_0 + \frac{v}{c}\nu_0 - \nu)^2 + (\frac{\Gamma}{4\pi})^2}$$

Maxwellsche Geschwindigkeitsverteilung $\kappa_\nu = \int_{-\infty}^{\infty} a_\nu n(v) dv$
 $\Rightarrow \kappa_\nu$ ist die Summe über die Lorentz-Profile der Atome

$$\begin{aligned} \Rightarrow a_\nu &= \frac{\kappa_\nu}{n} = \left(\frac{\pi e^2}{m_e c} \right) \left(\frac{f}{\Delta\nu_D} \right) \left(\frac{a}{\pi^{3/2}} \right) \int_{-\infty}^{\infty} \frac{e^{-y^2}}{(u-y)^2 + a^2} dy \\ &= a_1 \cdot H(a, u) \end{aligned}$$

$$\text{mit } y = \frac{\Delta\nu}{\Delta\nu_D}, \quad u = \frac{\nu - \nu_D}{\Delta\nu_D}, \quad a = \frac{\Gamma/4\pi}{\Delta\nu_D}$$

$$a_1 = \frac{\pi e^2}{m_e c} f \frac{1}{\Delta\nu_D \sqrt{\pi}} \quad \text{und} \quad H(a, u) = \underbrace{\left(\frac{a}{\pi} \right) \int_{-\infty}^{\infty} \frac{e^{-y^2}}{(u-y)^2 + a^2} dy}_{\text{Voigt-Hjerting-Funktion}}$$

Voigt-Hjerting-Funktion

Voigt-Profil = Faltung von Lorentz- und Doppler-Profil

Voigt-Profil: Grenzfall Linienzentrum

Linienzentrum: $\nu = \nu_0 \Rightarrow u \rightarrow 0$

- ▶ Integral der Voigt-Funktion dominiert von $y \approx u$:

$$H(a, u) \simeq \left(\frac{a}{\pi}\right) e^{-u^2} \int_{-\infty}^{\infty} \frac{dy}{y^2 + a^2} = e^{-u^2}$$

- ▶ gaußförmiges Linienprofil in der Linienmitte (Doppler-Kern):

$$a_\nu = \frac{\pi e^2}{m_e c} f \frac{1}{\Delta\nu_D \sqrt{\pi}} \cdot \exp\left(-\left(\frac{\nu - \nu_0}{\Delta\nu_D}\right)^2\right)$$

Voigt-Profil: Grenzfall Linienflügel

Linienflügel: $u \gg 1$

- ▶ Integral der Voigt-Funktion dominiert von $y \sim 0$:

$$H(a, u) \simeq \frac{a}{\pi} \int_{-\infty}^{\infty} \frac{e^{-y^2}}{u^2} dy = \frac{a}{\sqrt{\pi} u^2}$$

- ▶ Linienprofil der Flügel Grenzfall des Lorentz-Profils (Dämpfungsflügel):

$$a_\nu = \frac{\pi e^2}{m_e c} f \frac{\Gamma}{4\pi^2} \frac{1}{(\nu - \nu_0)^2}$$

Zusammenfassung: Linienprofile

Intensität: $I_\lambda = I_{\text{cont}} \cdot e^{-\tau_\lambda}$

optische Tiefe: $\tau_\lambda = \int_{\text{Absorber}} \kappa_\lambda(s) ds$

Absorptionskoeffizient: $\kappa_\lambda = \frac{\pi e^2}{m_e c} f \frac{\lambda_0^2}{\sqrt{\pi} \Delta \lambda_D c} n(s) \cdot H(a, u)$

$$\Delta \lambda_D = \frac{b}{c} \lambda_0 \quad = \frac{\sqrt{\pi} e^2}{m_e c} f \frac{\lambda_0}{b} n(s) \cdot H(a, u)$$

Voigt-Hjerting-Funktion: $H(a, u) = \frac{a}{\pi} \int_{-\infty}^{\infty} \frac{e^{-y^2}}{(u-y)^2 + a^2} dy$

mit $u = \frac{\lambda - \lambda_0}{\Delta \lambda_D}$, $y = \frac{\Delta \lambda}{\Delta \lambda_D}$, $a = \frac{\Gamma}{4\pi c} \frac{\lambda_0^2}{\Delta \lambda_D} = \frac{\Gamma}{4\pi} \frac{\lambda_0}{b}$

Doppler-Grenzfall: $H(a, u) \xrightarrow{u \rightarrow 0} e^{-u^2} = \exp \left(- \left(c \frac{(\lambda - \lambda_0)}{b \lambda_0} \right)^2 \right)$

Zusammenfassung: Linienprofile

optische Tiefe im Doppler-Grenzfall:

$$\begin{aligned}
 \tau_\lambda &= \int \kappa_\lambda(s) ds \\
 &\text{Absorber} \\
 &= \frac{\sqrt{\pi}e^2}{m_e c} f \frac{\lambda_0}{b} \int n(s) \cdot H(a, u) ds \\
 &= \frac{\sqrt{\pi}e^2}{m_e c} f \frac{\lambda_0}{b} \cdot \underbrace{\exp\left(-\left(c \frac{(\lambda - \lambda_c)}{b \lambda_c}\right)^2\right)}_{\text{Geschwindigkeiten ortsunabhängig}} \underbrace{\int n(s) ds}_{=N} \\
 &= \frac{\sqrt{\pi}e^2}{m_e c} f \frac{\lambda_0}{b} N \cdot \exp\left(-\left(c \frac{(\lambda - \lambda_0(1+z))}{b \lambda_0(1+z)}\right)^2\right)
 \end{aligned}$$

$$I_\lambda = I_{\text{cont}} \cdot e^{-\tau_\lambda}$$

Linienparameter

- ▶ Rotverschiebung z

$$1 + z = \frac{\lambda_c}{\lambda_0}$$

- ▶ λ_c : beobachtete zentrale Wellenlänge
- ▶ λ_0 : Ruhewellenlänge des betrachteten Übergangs

- ▶ Säulendichte N

$$N = \int_{\text{Absorber}} n(s) ds \quad [N] = \text{cm}^{-2}$$

über die Ausdehnung des Absorbers entlang der Sehlinie integrierte Teilchendichte

- ▶ Doppler-Parameter b

$$b = \sqrt{b_{\text{therm}}^2 + b_{\text{turb}}^2} = \frac{\text{FWHM}}{2\sqrt{\ln 2}} \quad [b] = \text{km s}^{-1}$$

mit

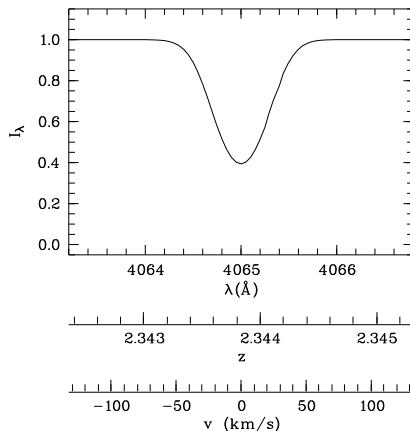
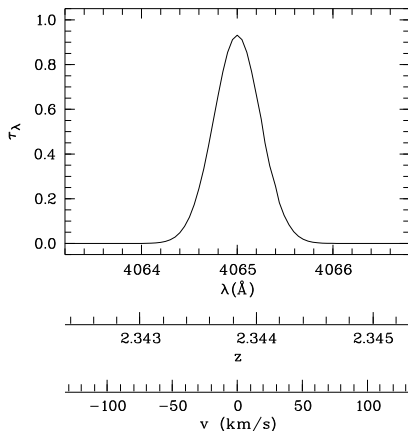
$$b_{\text{therm}} = \sqrt{\frac{2kT}{m}}$$

Doppler-Profil

H I Ly α : $\lambda_0 = 1215.6700 \text{ \AA}$, $f = 0.4164$
 (Morton 2003; ApJS 149, 205)

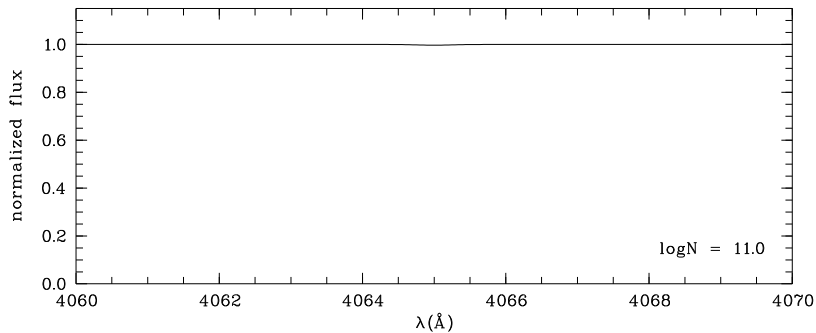
$$\tau_\lambda = \frac{\sqrt{\pi} e^2}{m_e c} f \frac{\lambda_0}{b} N \cdot \exp \left(- \left(c \frac{(\lambda - \lambda_0(1+z))}{b \lambda_0(1+z)} \right)^2 \right) \quad I_\lambda = I_{\text{cont}} \cdot e^{-\tau_\lambda}$$

Linienparameter: $z = 2.3438$, $\log N = 13.5$, $b = 25.0 \text{ km s}^{-1}$



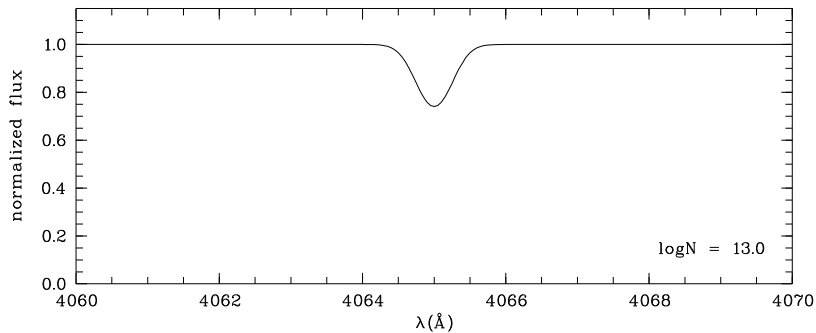
Linienprofile

H I Ly α : $\lambda_0 = 1215.6700 \text{ \AA}$, $f = 0.4164$, $\Gamma = 6.265 \cdot 10^8 \text{ s}^{-1}$
 $z = 2.3438$, $b = 25.0 \text{ km s}^{-1}$



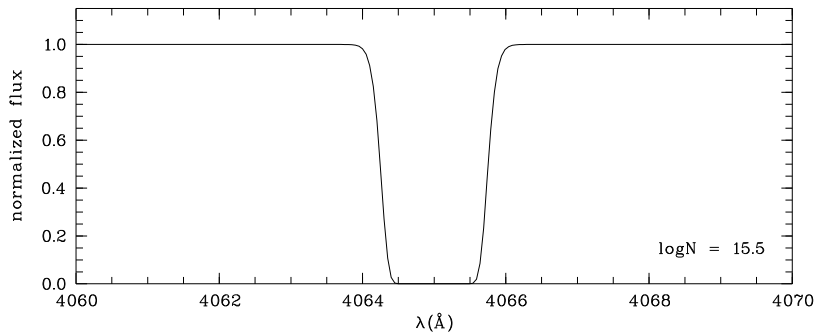
Linienprofile

H I Ly α : $\lambda_0 = 1215.6700 \text{ \AA}$, $f = 0.4164$, $\Gamma = 6.265 \cdot 10^8 \text{ s}^{-1}$
 $z = 2.3438$, $b = 25.0 \text{ km s}^{-1}$



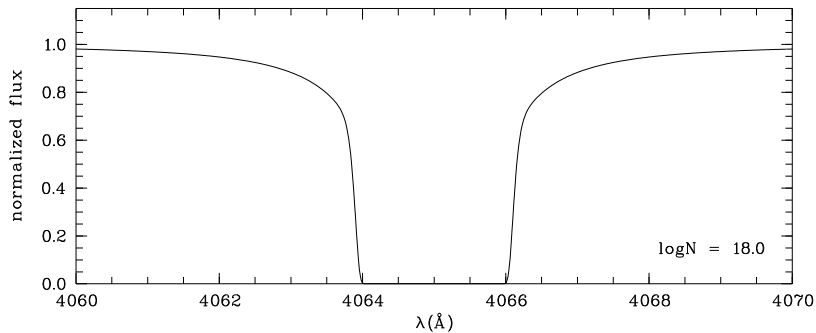
Linienprofile

H I Ly α : $\lambda_0 = 1215.6700 \text{ \AA}$, $f = 0.4164$, $\Gamma = 6.265 \cdot 10^8 \text{ s}^{-1}$
 $z = 2.3438$, $b = 25.0 \text{ km s}^{-1}$



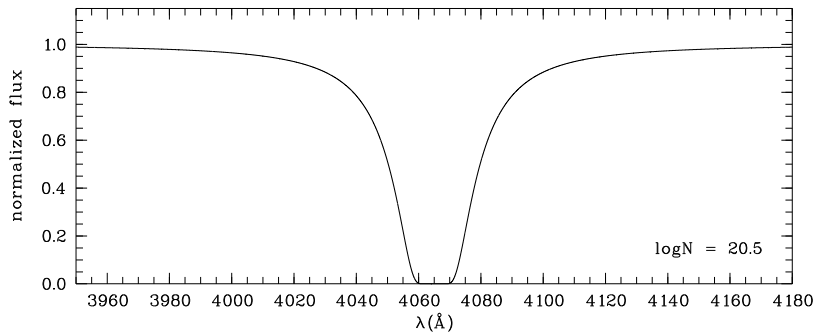
Linienprofile

H I Ly α : $\lambda_0 = 1215.6700 \text{ \AA}$, $f = 0.4164$, $\Gamma = 6.265 \cdot 10^8 \text{ s}^{-1}$
 $z = 2.3438$, $b = 25.0 \text{ km s}^{-1}$



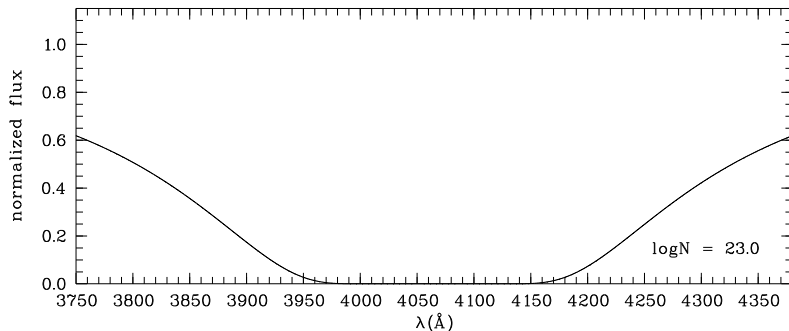
Linienprofile

H I Ly α : $\lambda_0 = 1215.6700 \text{ \AA}$, $f = 0.4164$, $\Gamma = 6.265 \cdot 10^8 \text{ s}^{-1}$
 $z = 2.3438$, $b = 25.0 \text{ km s}^{-1}$



Linienprofile

$$\text{H I Ly}\alpha: \quad \lambda_0 = 1215.6700 \text{ \AA}, \quad f = 0.4164, \quad \Gamma = 6.265 \cdot 10^8 \text{ s}^{-1}$$
$$z = 2.3438, \quad b = 25.0 \text{ km s}^{-1}$$



Wachstumskurve

Zusammenhang zwischen Säulendichte und Äquivalentbreite:

$$W_\lambda = \int (1 - e^{-\tau_\lambda}) d\lambda$$

$$\text{mit } \tau_\lambda = \frac{\sqrt{\pi} e^2}{m_e c} f \frac{\lambda_0}{b} N \cdot H(a, u)$$

$$\text{mit } H(a, u) = \frac{a}{\pi} \int \frac{e^{-y^2}}{(u - y)^2 + a^2} dy$$

$$\text{mit } a = \frac{\Gamma \lambda_0}{4\pi b}, \quad u = \frac{c(\lambda - \lambda_0)}{b \lambda_0}, \quad y = \frac{v}{b}$$

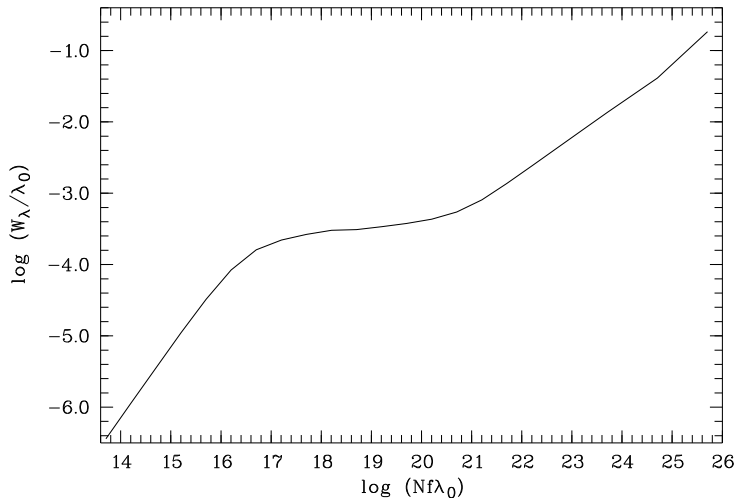
Äquivalentbreite ist rotverschiebungsabhängig:

$$W_\lambda = \frac{W_\lambda(z)}{(1+z)}$$

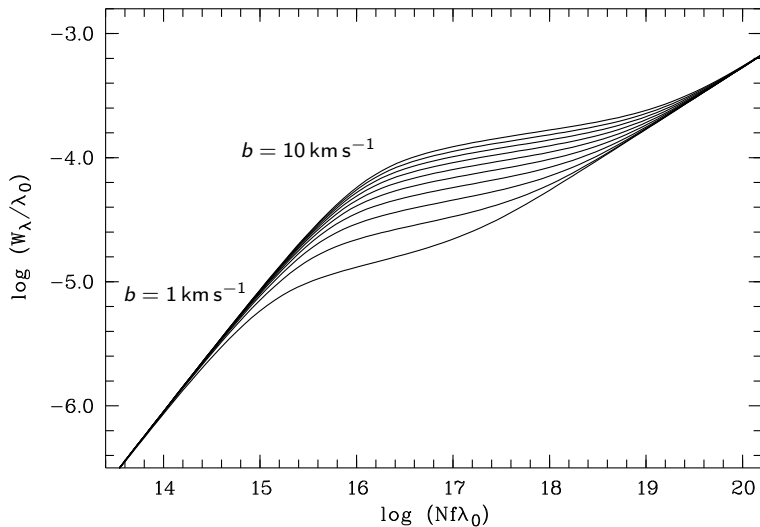
Wachstumskurve

Beispiel: H I Ly α

$$b = 25.0 \text{ km s}^{-1}$$



Wachstumskurve: Doppler-Parameter



Wachstumskurve: Grenzfälle

- ▶ $\tau \ll 1$, Doppler-Profil

$$W_\lambda = \int (1 - e^{-\tau_\lambda}) d\lambda \approx \int \tau_\lambda d\lambda = \frac{\pi e^2}{m_e c^2} f \lambda_0^2 N$$

$W_\lambda \propto N$

$$\Leftrightarrow \frac{W_\lambda}{\lambda_0} = \frac{\pi e^2}{m_e c^2} N f \lambda_0$$

- ▶ $\tau \gg 1$, Dämpfungsflügel

$$W_\lambda = \int \left(1 - \exp \left(\frac{\sqrt{\pi} e^2}{m_e c^2} f \frac{\lambda_0}{b} N \cdot H(a, u) \right) \right) d\lambda$$

$W_\lambda \propto \sqrt{N}$

$$= \sqrt{\frac{\Gamma e^2}{m_e c^3} N f \cdot \lambda_0^2} \quad H(a, u) = \frac{a}{\sqrt{\pi} u^2}$$

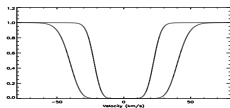
$$\Leftrightarrow \frac{W_\lambda}{\lambda_0} = \sqrt{\frac{\Gamma e^2 \lambda_0}{m_e c^3}} \sqrt{N f \lambda_0}$$

- ▶ $\tau \sim 1$, keine analytische Integration möglich

$W_\lambda \propto \log N$

Näherungsformel führt auf $\frac{W_\lambda}{\lambda_0} \propto \log(N f \lambda_0)$

Wachstumskurve

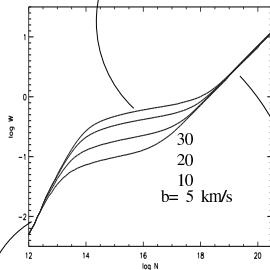


$$N=15$$

$$b=10, 20$$

$$\frac{W_{\Delta}}{\lambda_0} \propto \log(N f \lambda_0)$$

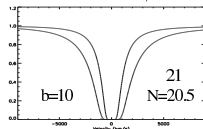
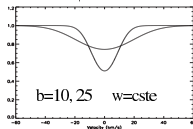
Flat part of the curve of growth



Optically thin case

Damped wings

$$\frac{W_{\Delta}}{\lambda_0} \propto N f \lambda_0$$



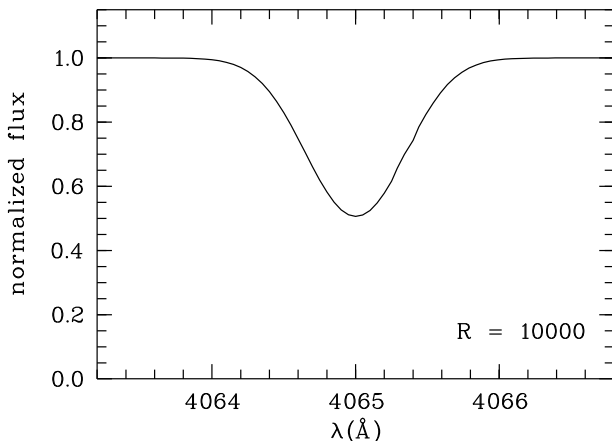
$$\frac{W_{\Delta}}{\lambda_0} \propto \sqrt{N f \lambda_0}$$

Petitjean (1998; arXiv:astro-ph9810418)

Instrumentelle Auflösung

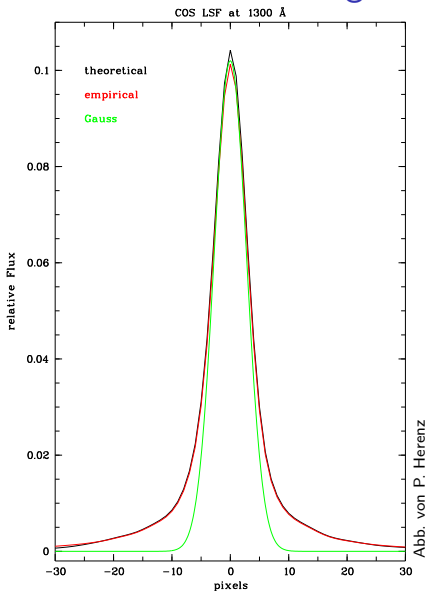
beobachtet wird $F(\lambda) = F_0 \cdot e^{-\tau_\lambda} \otimes P(\lambda)$, Instrumentenprofil $P(\lambda)$

$$P(\lambda) = \frac{1}{\sqrt{2\pi}\sigma} \exp\left(-\frac{\lambda^2}{2\sigma^2}\right) \quad \text{mit} \quad \sigma = \frac{\lambda}{2\sqrt{2\ln 2}R} \quad \text{und} \quad R = \frac{\lambda}{\Delta\lambda}$$



W_λ ist unabhängig von R !

Instrumentelle Auflösung: Beispiel COS



- ▶ Linienverbreiterungsfunktion des *Cosmic Origin Spectrographs* (COS) am *Hubble Space Telescope* ist nicht gaußförmig!
- ▶ Beobachtete Linienprofile werden verzerrt.
- ▶ Form der Linienverbreiterungsfunktion (*Line Spread Function, LSF*) ist wellenlängenabhängig.

Gunn-Peterson optische Tiefe

neutraler Wasserstoff absorbiert

$$d\tau = n_{\text{HI}}(z) \cdot \sigma(\nu) dl \quad \text{mit} \quad \sigma(\nu) = a_\nu = \frac{\pi e^2}{m_e c} f \cdot \phi_\nu$$

$$\tau = \int_0^{z_{\text{em}}} d\tau = \int_0^{z_{\text{em}}} n(z) \cdot \sigma(\nu \cdot (1+z)) \frac{dl}{dz} dz$$

$$\frac{dl}{dz} = \frac{c}{(1+z) \cdot H(z)} \quad \text{mit} \quad H(z) = H_0 \sqrt{\Omega_m (1+z)^3 + \Omega_\Lambda}$$

$$\Rightarrow \tau = \int_0^{z_{\text{em}}} \frac{\pi e^2}{m_e} f \frac{n}{(1+z) \cdot H(z)} \cdot \phi(\nu(1+z) - \nu_\alpha) dz$$

$$\tau_{\text{GP}} = \frac{\pi e^2}{m_e c} f \lambda_0 n(z) H^{-1}(z)$$

$$\approx 4.146 \cdot 10^{10} \text{ cm}^3 h^{-1} \frac{n_{\text{HI}}(z)}{\sqrt{\Omega_m (1+z)^3 + \Omega_\Lambda}}$$

Anteil neutralen Wasserstoffs

$$\tau_{\text{GP}} = \frac{\pi e^2}{m_e c} f \lambda_0 n(z) H^{-1}(z)$$

$$\approx 4.146 \cdot 10^{10} \text{ cm}^3 h^{-1} \frac{n_{\text{HI}}(z)}{\sqrt{\Omega_m(1+z)^3 + \Omega_\Lambda}}$$

$$n_{\text{H}} = \frac{3H_0^2}{8\pi G} \Omega_b \frac{1-Y}{m_{\text{H}}} (1+z)^3$$

$$\Rightarrow \tau_{\text{GP}} = \frac{\pi e^2}{m_e c} \frac{3H_0^2}{8\pi G m_{\text{H}}} f \lambda_0 \Omega_b (1-Y) \frac{n_{\text{HI}}}{n_{\text{H}}} \frac{(1+z)^3}{H_0 \sqrt{\Omega_m(1+z)^3 + \Omega_\Lambda}}$$

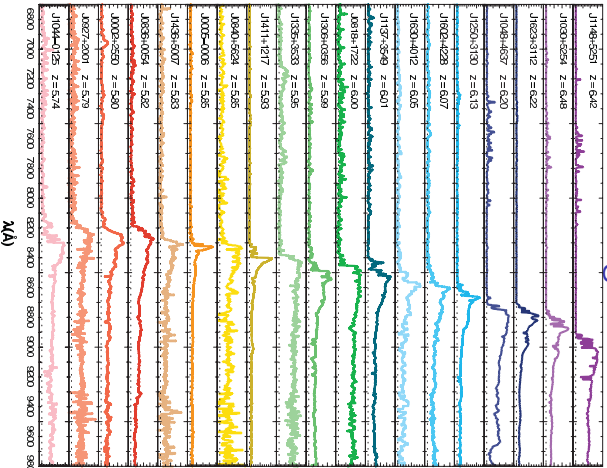
$$\approx 3.56 \cdot 10^3 \left(\frac{h}{0.7}\right) \left(\frac{\Omega_b}{0.0458}\right) \left(\frac{1-Y}{0.75}\right) \frac{n_{\text{HI}}}{n_{\text{H}}} \frac{(1+z)^3}{\sqrt{\Omega_m(1+z)^3 + \Omega_\Lambda}}$$

$$\tau_{\text{GP}}(z \sim 5) < 0.1 \quad \Rightarrow \quad \frac{n_{\text{HI}}}{n_{\text{H}}} \simeq 10^{-6}$$

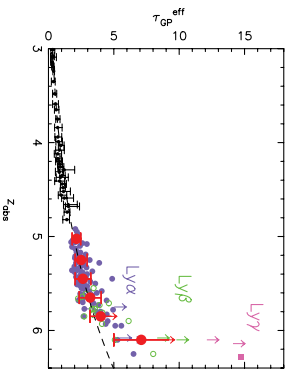
Das IGM ist hochgradig ionisiert!

Gunn-Peterson-Tröge bei $z \sim 6$

A

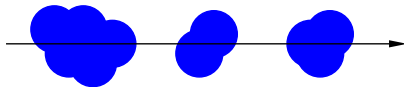


Fan et al. (2006; ARA&A 44, 415)

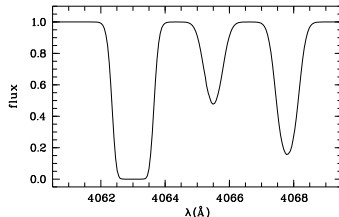


Fan et al. (2006; AJ 132, 117)

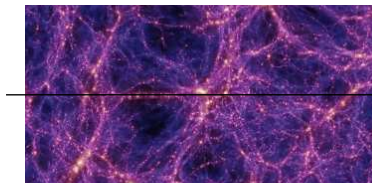
Fluktuierende Gunn-Peterson-Näherung



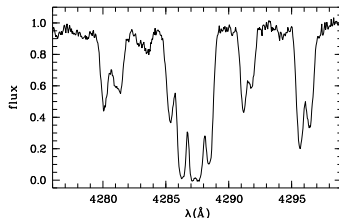
diskrete Absorber



⇒ ein Voigt-Profil pro Absorber



gleichmäßig verteiltes Gas mit
Dichteschwankungen in n_{HI}



⇒ jedes Gaselement macht
Gunn-Peterson-Absorption

Scheinbare optische Tiefe

Apparent Optical Depth

beobachtet wird $\tau_a(\lambda) = \ln \left(\frac{I_{\text{cont}}(\lambda)}{I_{\text{obs}}(\lambda)} \right) = \ln \left(\frac{1}{e^{-\tau(\lambda)} \otimes \phi(\Delta\lambda)} \right)$

$\tau_a(\lambda) \approx \tau(\lambda)$, wenn

- ▶ Auflösung besser als Linienbreite $\text{FWHM}_{\text{Linie}} \gg \text{FWHM}_{\phi}$
- ▶ Signal-zu-Rausch-Verhältnis genügend groß
- ▶ Kontinuum gut definiert

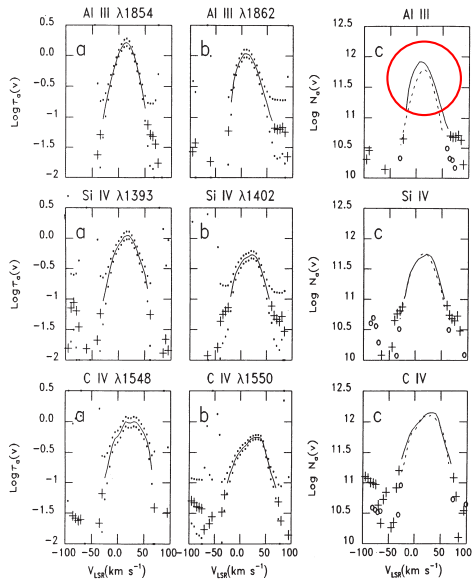
$$\tau(\lambda) = \frac{\pi e^2}{m_e c^2} f \lambda_0^2 N(\lambda)$$

$$\tau(\nu) = \frac{\pi e^2}{m_e c} f \lambda_0 N(\nu) = 2.654 \cdot 10^{-15} f \left(\frac{\lambda_0}{\text{\AA}} \right) \left(\frac{N(\nu)}{\text{cm}^{-2} (\text{km s}^{-1})^{-1}} \right)$$

$$\Rightarrow N = \int N(\lambda) d\lambda = \int N(\nu) d\nu = \frac{m_e c}{\pi e^2 f \lambda_0} \int \ln \left(\frac{I_{\text{cont}}(\nu)}{I(\nu)} \right) d\nu$$

keine Annahmen über die Geschwindigkeitsverteilung im Gas

Säulendichte-Profile mit der scheinbaren optischen Tiefe



Unterschiede im $N_a(\nu)$ -Profil
 → Linie gesättigt!

Savage & Sembach (1991; ApJ 379, 245)

Zusammenfassung: Beschreibung von Absorptionslinien

- ▶ Anpassen von Linienprofilen Voigt = Doppler \otimes Lorentz
 - ▶ Rotverschiebung z
 - ▶ Säulendichte N
 - ▶ Doppler-Parameter b

- ▶ Wachstumskurve Bestimmung der Äquivalentbreite
 - ▶ (Rotverschiebung z)
 - ▶ Säulendichte N
 - ▶ ggf. Doppler-Parameter b

- ▶ Interpretation als Gunn-Peterson-Effekt
 - ▶ Dichte- und Geschwindigkeitsverteilung
normalerweise nicht aus dem Spektrum bestimmbar

- ▶ scheinbare optische Tiefe
 - ▶ (Rotverschiebung z)
 - ▶ Säulendichte N